

# PBT/PET共聚酯的结构表征和热转变

曾凡龙 金惠芬 孙 桐

(中国纺织大学)

**【摘要】** 本文用红外光谱(IR),  $^1\text{H}$ ,  $^{13}\text{C}$  核磁共振谱(NMR), 动态力学谱(DMM), 热分析(DSC), 热重分析(TGA)方法鉴定了用混合缩聚法制得的 PBT/PET 共聚酯的化学结构和热转变温度。结果表明: PBT/PET 共聚酯是无规共聚物。共聚酯的熔点( $T_m$ )和用力学方法测得的玻璃化温度( $T_g$ )随其化学组成的变化呈“V”字形。共聚酯的热稳定性与缩聚催化剂 Sb 的关系不大。

自 PBT (聚对苯二甲酸丁二酯) 在纺织领域中出现以来, 越来越多的注意力转向它的物理化学改性<sup>[1]</sup>。我们研制了 PBT/PET 共聚酯的树脂和纤维。该纤维具有近似于 PBT 的优异弹性和染色性, 但价格要便宜得多。为了深入探讨纤维微观结构、力学性能和加工工艺, 对其化学结构的了解是必不可少的。

大分子链的序列结构的分析通常是由核磁共振方法来完成的, 也有人使用 DSC 和动态力学方法<sup>[2,3]</sup>。R. A. Newmark<sup>[4]</sup>曾测定过 PBT/PET 共聚酯的序列, 但没有说明样品的制备方法。本文采用混合缩聚法(见后)制备聚合物, 这种方法在反应一开始就存在着 EG(乙二醇)与 BD(丁二醇)的竞争。测定聚合物 EG 与 BD 链节的比例和大分子的序列分布情况, 对调整聚合工艺也是极为重要的。

## 一、实验部分

### 1. 样品制备

将 EG、BD、DMT(对苯二甲酸二甲酯)按一定比例一起投入反应器中反应, 先酯交换, 再缩合聚合。

### 2. 仪器及测试方法

(1) 红外吸收: 把聚合物溶于三氟乙酸中, 涂于 NaCl 盐片上, 在红外灯下挥发至干。用 WD-14 型红外光谱仪测试。

(2) 核磁共振: 把聚合物溶于氘代三氟乙酸中, 在 90MHz 核磁共振仪上测  $^1\text{H}$  谱, 在 200MHz 核磁共振仪上测  $^{13}\text{C}$  谱。TMS 作内

标。

(3) 热分析: PE TGA7 热重分析仪(升温速度:  $20^\circ\text{C}/\text{min}$ ; 气氛: 空气), PE DSC7 差示扫描量热仪(气氛: 氮气; 升温速度:  $20^\circ\text{C}/\text{min}$ )。

(4) 动态力学损耗: 在日本 DDV-II 上测试(纤维样品为 3.6 倍拉伸丝<sup>[5]</sup>; 频率: 110Hz; 温度范围:  $25\sim 200^\circ\text{C}$ ; 气氛: 氮气)。

## 二、结果与讨论

### 1. 红外吸收

PBT, PET 和共聚酯的红外光谱图如图 1 所示。由图可见, 共聚酯的谱线(III~V)上既有 PET 的吸收峰(如  $2500\text{cm}^{-1}$ ,  $1770\text{cm}^{-1}$ ,  $1040\text{cm}^{-1}$ ,  $710\text{cm}^{-1}$ ), 又有 PBT 的吸收峰(如  $1210\text{cm}^{-1}$ ,  $940\text{cm}^{-1}$ 等)。

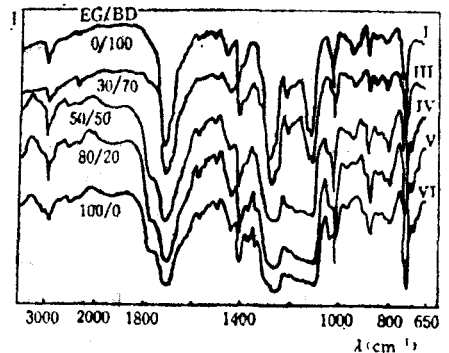


图 1 PBT、PET 和共聚酯的红外光谱图  
Fig.1 The infrared spectrum of PBT, PET copolyester

将不同 EG/BD 的共聚酯与 PBT, PET 的图谱对照, 发现随着 EG 含量的逐渐增大, 共聚酯的谱线的峰形逐步由接近于 PBT 的峰形向接近 PET 的峰形过渡。

2. 共聚酯的链节含量

共聚酯中 EG 和 BD 的相对含量可用核磁共振  $^1H$  谱来测定。图 2 为 PBT、PET 和共聚酯的  $^1H$  谱。谱中 *b*、*c* 两峰的面积之比即是 BD 与 EG 含量之比。根据 *b*、*c* 两峰的面积得到的结果如表 1。

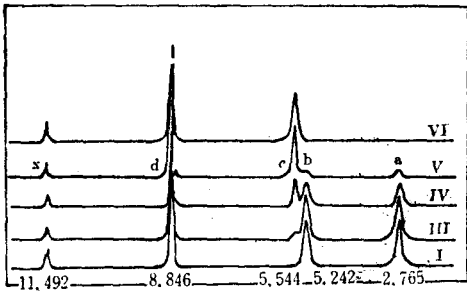


图 2 90MHz $^1H$ NMR 测定 PBT, PBT/PET, PET

Fig.2 The 90 MHz  $^1H$  NMR spectrum of PBT, PBT/PET, PET

注: 图中 *a*、*b* 分别为丁二醇链节上与氧不相连、相连的碳原子上的氢的吸收峰; *c* 为乙二醇链节中碳原子上的氢的吸收峰; *d* 为苯环叔碳上的氢的吸收峰; *x* 为溶剂峰。

表 1  $^1H$  NMR 测定共聚酯的链节含量\*  
Table 1 The link containing of copolyester tested with  $^1HNMR$

序号	投料比 (EG/BD)	$^1H$ 测定值 (EG/BD)
I	0/100	0/100
II	20/80	17.91/82.09
III	30/70	28.60/71.40
IV	50/50	48.78/51.22
V	80/20	78.81/21.19
VI	100/0	100/0

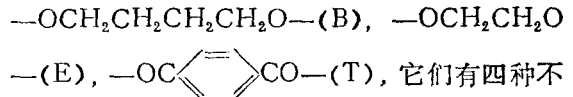
\* 表中 EG/BD 指摩尔比, 下同。

表 1 中数据说明, 共聚酯大分子链上的 EG 与 BD 之比与投料比是一致的。

3. 共聚酯的链节分布

PBT/PET 共聚物是无规分布, 还是嵌段分布的, 可用高分辨  $^{13}C$  谱来分析鉴定。

在共聚酯的大分子链上, 有三个基本结构单元:



$$R = q(BTE) / (2q(E)q(B))$$

$$q(E) = q(ETE) + q(ETB) / 2$$

$$q(B) = q(BTB) + q(ETB) / 2$$

表 2 共聚酯中季碳的化学位移和序列分布

Table 2 The chemical displacement and sequence distribution of quaternary carbon in copolyester

序列结构	化学位移 (PPM)	相对强度	归一化几率 (%) (q)	无规度 (R)	
				实测值	理论值
ETB(Esi)	133.712	19.213	20.33	0.97	1
ETE	134.008	8.346	8.33		
BTB	134.224	48.558	51.38		
ETB(Bsi)	134.461	18.397	19.46		

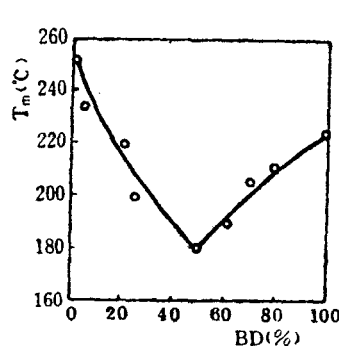


图 3: 共聚酯的熔点与组成的关系  
Fig. 3 The relationship between melting point and composition of copolyester

从序列上考虑,  $q(ETB)$  和  $q(BTE)$  在计算时应合并在一起。计算结果如表 2。可见, 共聚酯的无规度 R 值非常接近于理论值。因此, 可以认为该共聚酯是无规共聚物。

### 4. 共聚酯的熔点

PBT/PET 共聚酯的熔点随其组成的不同呈现V字形, 如图3所示。

由图3可以看到:(1)共聚酯的熔点比邻近它的那种纯聚合物的熔点低。(2)随着一种单体含量的增加, 所得共聚酯的熔点向该种纯聚合物的熔点靠近。(3)EG/BD为50/50的共聚酯的熔点最低。上述这些现象的出现是由于BD的增加对大分子链的刚柔性和聚合物结晶能力的不同影响所致。

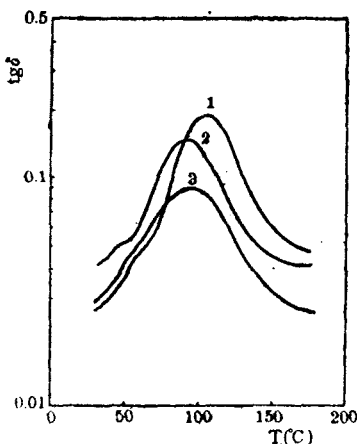


图4 PBT/PET 共聚酯的动态力学损耗  
Fig. 4 The DMM loss of PBT/PET copolyester

耗峰<sup>[3]</sup>。因此, 1-EG/BD为75/25; 2-EG/BD为50/50; 3-EG/BD为25/75。图5进一步证明PBT/PET 共聚酯是无规共聚物。

还可以看到, 随着PBT含量的增加, 主转变峰降低, 变宽。在50°C附近, 曲线1, 2有明显的次级转变, 曲线3不明显。经测定, PET在70°C处有一显著的次级转变, PBT在50°C处也有一明显的转折, 显示出结晶对这一次级运动的显著影响。

将PBT、PET和共聚酯损耗峰对应的温度对EG/BD作图, 如图5所示。在曲线上出现一最低点, 这与J.G.Smith用DSC测得的结果不一样<sup>[9]</sup>。他测得的T<sub>g</sub>随共聚酯中BD的增加而逐渐降低。这种差异主要是由于力学损耗测得的T<sub>g</sub>要受到测试样品的结晶与取向的影响。随着共聚酯中BD的增加, 链段变得柔软,

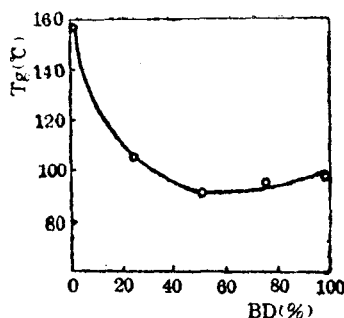


图5 力学损耗转变温度与组成的关系

Fig.5 The relationship between DMM loss thermal transition and composition

能在较低温度下解冻。即T<sub>g</sub>较低。但同时BD的增加使共聚酯结晶能力增大, 纤维结晶度提高, 从而阻碍了大分子链的运动, 使T<sub>g</sub>升高。这两种因素作用的结果使图5中的T<sub>g</sub>曲线出现了最低点。

### 6. 热稳定性

对50/50共聚酯, 使用不同量的缩聚催化剂Sb, 其热裂解温度T<sub>d</sub>和热氧化裂解温度T<sub>o</sub>。如表3所示。

表3 共聚酯(50/50)的分解温度

Table 3 The digestion temperature of (50/50) copolyester

T(°C) \ Sb <sub>2</sub> O <sub>3</sub> (10 <sup>-4</sup> )	3	4.5	6
T <sub>d</sub>	435	435	435
T <sub>o</sub>	520	520	522

由表3数据可见, 当Sb<sub>2</sub>O<sub>3</sub>用量由3×10<sup>-4</sup>逐步增大到6×10<sup>-4</sup>时, T<sub>d</sub>, T<sub>o</sub>基本上维持不变。说明Sb对共聚酯的热稳定性影响不大。

表4中是三种比例的共聚酯的分解温度。

表4 不同共聚酯的分解温度

Table 4 The digestion temperature of various copolyester

T(°C) \ EG/BD	Ti (ppm)		
	75/25	50/50	25/75
T <sub>d</sub>	445.8	420.2	418.1
T <sub>o</sub>	513.1	502.5	485.1

(上接第6页)

随着 BD 与缩聚催化剂 Ti 的浓度的增大, Td, To 逐渐降低, 这可能与 Ti 的作用有关。

### 三、结 论

采用混合酯交换, 再缩聚方法制得的 PBT/PET 共聚酯是无规共聚物。共聚物中 BD 与 EG 含量与投料比是一致的。共聚酯的熔点和力学转变温度 Tg 随其组成的变化呈 V 字形。缩聚催化剂 Sb 对共聚酯的热稳定性的影响不大, Ti

则不然。

### 参 考 资 料

- [1] 《江苏纺织科技》, 1985, No. 4, p. 36.
- [2] J. Menzel, et. al., «J. Polym. Sci.», Polym. Phys. Ed., 18, 1433(1980).
- [3] W. C. Wooten, et. al., «Appl. Sci.», London, 8(1979).
- [4] R. A. Newmark, «J. Polym. Sci.», Polym. Chem. Ed., 18, 559(1980).
- [5] 《合成纤维工业》, 1989, No. 3, P20.
- [6] J. G. Smith, et. al., «J. Polym. Sci.», Part A-1, 4, 1851(1966).

### 《 纺 织 学 报 》 合 订 本

#### 第十卷(1989年1~12期)

精装每卷 14 元 邮费 3 元

平装每卷 12 元 邮费 3 元

#### 第九卷(1988年1~12期)

精装每卷 12 元 邮费 3 元

平装每卷 10 元 邮费 3 元

#### 第八卷(1987年1~12期)

精装每卷 12 元 邮费 3 元

平装每卷 10 元 邮费 3 元

#### 第七卷(1986年1~12期)

精装每卷 12 元 邮费 3 元

平装每卷 10 元 邮费 3 元

#### 第六卷(1985年1~12期)

精装每卷 12 元 邮费 3 元

平装每卷 10 元 邮费 3 元

#### 第五卷(1984年1~12期)

精装每卷 12 元 邮费 3 元

平装每卷 10 元 邮费 3 元